

А. А. БАБЛОЯН, А. А. ЕНГИБАРЯН

О ДВУХ ЗАДАЧАХ ДЛЯ КОЛЬЦЕВОГО СЕКТОРА С ТРЕЩИНАМИ

Общее решение плоской задачи для изотропного кольцевого сектора, граничные условия которого заданы в напряжениях, было построено в работе [1]. Решение этой же задачи для ортотропного материала приведено в работе [2]. Сжатие кругового кольца симметрично расположенным (внутренними или внешними) гладкими штампами со смешанными граничными условиями рассмотрено в работах [3, 4, 8, 9]. Задачи для круга, ослабленного внутренними или внешними радиальными трещинами, приведены в работах [10, 11, 12]. Аналогичные задачи для кольцевого сектора, ослабленного внешними трещинами, рассматривались в работах [5, 14].

В настоящей работе приводится решение двух задач теории упругости для вращающегося кругового кольца: а) контактная задача для двух круговых колец из различных изотропных материалов, насаженных и частично (симметрично) скрепленных друг с другом; б) задача для одного кольца, ослабленного симметрично расположенным внутренними и внешними радиальными трещинами.

Решения этих задач строятся единым методом [1] и после удовлетворения всем граничным условиям и условиям сопряжения сводятся к решению квазиволновых регулярных бесконечных систем.

§ 1. Рассмотрим контактную задачу двух кольцевых секторов из различных изотропных материалов, соединенных друг с другом по n одинаковым участкам, расположенным симметрично вдоль дуги окружности (фиг. 1). Достаточно задачу решать только для заштрихованной части области, удовлетворяя при этом условиям симметрии

$$z_{r_1}^{(i)}(t, 0) = z_{r_2}^{(i)}(t, \varphi_1) = 0, \quad v^{(i)}(t, 0) = v^{(i)}(t, \varphi_1) = 0, \quad (i = 1, 2) \quad (1.1)$$

Границные условия рассматриваемой задачи имеют вид

$$ae^{i\varphi} z_t^{(1)}(t_1, \varphi) = f_2^{(1)}(\varphi) = f_{02}^{(1)} + \sum_{k=1}^{\infty} f_{k2}^{(1)} \cos x_k \varphi$$

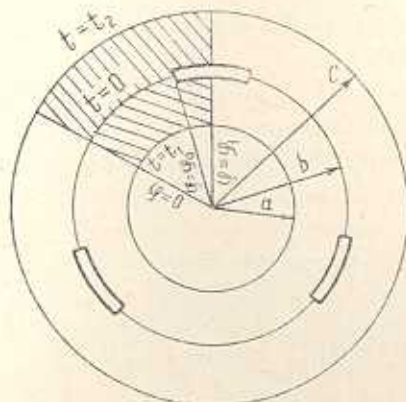
$$ae^{i\varphi} z_{r_2}^{(1)}(t_1, \varphi) = g_2^{(1)}(\varphi) = \sum_{k=1}^{\infty} g_{k2}^{(1)} \sin x_k \varphi \quad (0 \leq \varphi \leq \varphi_1)$$

$$be^{i\varphi} z_t^{(2)}(t_2, \varphi) = f_1^{(2)}(\varphi) = f_{01}^{(2)} + \sum_{k=1}^{\infty} f_{k1}^{(2)} \cos x_k \varphi \quad (1.2)$$

$$be^{t_2} \gamma_{t_2}^{(2)}(t_2, \varphi) = g_1^{(2)}(\varphi) = \sum_{k=1}^{\infty} g_k^{(2)} \sin \alpha_k \varphi$$

$$\sigma_t^{(1)}(0, \varphi) = \sigma_t^{(2)}(0, \varphi) = 0, \quad \gamma_{t_2}^{(1)}(0, \varphi) = \gamma_{t_2}^{(2)}(0, \varphi) = 0, \quad (\varphi_0 < \varphi < \varphi_1)$$

На линии $t = 0$ ($0 < \varphi < \varphi_0 < \varphi_1$) должны удовлетворяться условия полного контакта двух материалов:



Фиг. 1.

$$u^{(1)}(0, \varphi) = u^{(2)}(0, \varphi)$$

$$\sigma_t^{(1)}(0, \varphi) = \sigma_t^{(2)}(0, \varphi)$$

$$v^{(1)}(0, \varphi) = v^{(2)}(0, \varphi) \quad (1.3)$$

$$\gamma_{t_2}^{(1)}(0, \varphi) = \gamma_{t_2}^{(2)}(0, \varphi)$$

Решение задачи для каждого кругового кольца ищется в виде [1]

$$F^{(i)}(t, \varphi) = b^{(i)}(t) +$$

$$+ \sum_{k=1}^{\infty} \Psi_k^{(i)}(t) \cos \alpha_k \varphi +$$

$$+ \sum_{k=1}^{\infty} \Phi_k^{(i)}(\varphi) \cos \beta_k^{(i)} t \quad (1.4)$$

где

$$\Phi_k^{(i)}(\varphi) = A_k^{(i)} \operatorname{sh} \beta_k^{(i)} (\varphi_1 - \varphi) \sin (\varphi_1 - \varphi) + B_k^{(i)} \operatorname{sh} \beta_k^{(i)} (\varphi_1 - \varphi) \sin \varphi + \\ + C_k^{(i)} \operatorname{sh} \beta_k^{(i)} \varphi \sin (\varphi_1 - \varphi) + D_k^{(i)} \operatorname{sh} \beta_k^{(i)} \varphi \sin \varphi$$

$$\Psi_k^{(i)}(t) = E_k^{(i)} \operatorname{sh} \alpha_k (t_1 - t) \operatorname{sh} (t_1 - t) + G_k^{(i)} \operatorname{sh} \alpha_k (t_1 - t) \operatorname{sh} t + \\ + F_k^{(i)} \operatorname{sh} \alpha_k t \operatorname{sh} (t_1 - t) + H_k^{(i)} \operatorname{sh} \alpha_k t \operatorname{sh} t \quad (1.5)$$

$$b^{(i)}(t) = b_0^{(i)} e^t + b_1^{(i)} t e^{-t} + b_2^{(i)} t e^t$$

$$0 < \varphi < \varphi_1; \quad t_1 \leq t \leq 0 \text{ — при } i = 1, \quad 0 < t \leq t_2 \text{ — при } i = 2; \quad \alpha_k = \frac{k\pi}{\varphi_1};$$

$$\beta_k^{(i)} = \frac{k\pi}{t_i}, \quad t = \ln \frac{r}{a}, \quad t_1 = -\ln \frac{b}{a}, \quad t_2 = \ln \frac{c}{b}, \quad \varphi_1 = \frac{\pi}{n}, \quad n \geq 2$$

n — число участков соединений двух материалов. Случай $n = 1$ получится после решения задачи предельным переходом.

Напряжения и перемещения с учетом инерционных сил выражаются через функцию Эри следующими формулами [7]:

$$r \sigma_r(t, \varphi) = \frac{\partial^2 F}{\partial \varphi^2} + \frac{\partial F}{\partial t} + F - \frac{2\lambda + 3\mu}{4(i + 2\mu)} \rho_0^2 r^3$$

$$r \sigma_\varphi(t, \varphi) = \frac{\partial^2 F}{\partial t^2} + \frac{\partial F}{\partial t} - \frac{2\lambda + \mu}{4(i + 2\mu)} \rho_0^2 r^3$$

$$r_{\varphi}^{\pm}(t, \varphi) = -\frac{\partial^2 F}{\partial \varphi \partial t} \quad (1.6)$$

$$u(t, z) = \frac{1-v^2}{E} \left[\int \left(\frac{\partial^2 F}{\partial z^2} + F \right) dt + 2\gamma_1 F - \frac{1}{2} \frac{\partial F}{\partial t} \right] - \frac{\rho \omega^2 r^3}{8(\lambda+2\mu)}$$

$$v(t, \varphi) = \frac{1-v^2}{E} \left[\int \left(\frac{\partial^2 F}{\partial t^2} + \frac{\partial F}{\partial t} - F \right) dz - \int \int F dt d\varphi - \int \frac{\partial F}{\partial \varphi} dt - \frac{1}{2} \frac{\partial F}{\partial \varphi} \right]$$

где

$$\tilde{\gamma} = \frac{\gamma}{1-v}, \quad \gamma_1 = \frac{1-2v}{2(1-v)}, \quad \lambda = \frac{Ev}{(1+v)(1-2v)}, \quad \mu = \frac{E}{2(1-v)} \quad (1.7)$$

ρ — плотность материала, v — коэффициент Пуассона, ω — угловая скорость вращения.

Удовлетворяя граничным условиям и решая полученные системы уравнений относительно коэффициентов разложения, имеем

$$A_k^{(i)} = B_k^{(i)} = C_k^{(i)} = D_k^{(i)} = 0$$

$$H_k^{(i)} \alpha_k \operatorname{sh} \alpha_k t_i \operatorname{sh} t_i = g_{k1}^{(i)}, \quad E_k^{(i)} \alpha_k \operatorname{sh} \alpha_k t_i \operatorname{sh} t_i = g_{k2}^{(i)}$$

$$\Delta_{k1}^{(i)} G_k^{(i)} = M_{k1}^{(i)} \alpha_k \operatorname{sh} t_i - M_{k2}^{(i)} \operatorname{sh} \alpha_k t_i$$

$$\Delta_{k1}^{(i)} F_k^{(i)} = M_k^{(i)} \operatorname{sh} \alpha_k t_i - M_{k2}^{(i)} \alpha_k \operatorname{sh} t_i \quad (1.8)$$

где

$$M_{k1}^{(i)} = \alpha_k^{-1} (1 - \alpha_k \operatorname{cth} \alpha_k t_i + \operatorname{cth} t_i) g_{k1}^{(i)} - f_{k1}^{(i)}$$

$$M_{k2}^{(i)} = \alpha_k^{-1} (1 + \alpha_k \operatorname{cth} \alpha_k t_i - \operatorname{cth} t_i) g_{k2}^{(i)} - f_{k2}^{(i)} \quad (1.9)$$

$$\Delta_{k1}^{(i)} = \operatorname{sh}^2 \alpha_k t_i - \alpha_k^2 \operatorname{sh}^2 t_i$$

При этом свободные члены разложения (1.4) определяются из следующих уравнений:

$$2b_0^{(i)} e^{t_i} + b_1^{(i)} e^{-t_i} - \frac{2\lambda_1 + 3\mu_i}{4(\lambda_i + 2\mu_i)} \beta_i \omega^2 a^4 e^{3t_i} = f_{01}^{(i)}$$

$$2b_0^{(i)} + b_1^{(i)} - \frac{2\lambda_i + 3\mu_i}{4(\lambda_i + 2\mu_i)} \beta_i \omega^2 a^4 = f_{02}^{(i)}, \quad b_2^{(i)} = 0 \quad (1.10)$$

Вычислим значения перемещений на линии $t = 0$

$$v^{(i)}(0, \varphi) = \frac{2(1-v_i^2)}{E_i} \sum_{p=1}^{\infty} [\alpha_p^{-1} (\gamma_i \bar{f}_{pi} - \bar{g}_{pi}) + R_{pi}] \sin \alpha_p \varphi$$

$$u^{(i)}(0, \varphi) = \frac{2(1-v_i^2)}{E_i} \sum_{p=1}^{\infty} [\alpha_p^{-1} (\gamma_i \bar{g}_{pi} - \bar{f}_{pi}) + Q_{pi}] \cos \alpha_p \varphi +$$

$$+ u_0^{(i)}(0) - \frac{\beta_i \omega^2 a^3}{8(\lambda_i + 2\mu_i)}$$

где

$$(z_p^2 - 1) \tilde{f}_{pi} = z_p(z_p f_{pi} - g_{pi}), \quad (z_p^2 - 1) \tilde{g}_{pi} = z_p(z_p g_{pi} - f_{pi})$$

$$E_i w^{(i)}(t) = (1 + v_i) \left\{ [2(1 - 2v_i) b_0^{(i)} e^t - b_1^{(i)} e^{-t}] + \right. \quad (1.12)$$

$$+ \frac{2\lambda_i + 3v_i}{4(\lambda_i + 2v_i)} [2(1 - 2v_i) e^t \operatorname{ch} t_i + e^{-t}] \varphi_i^{(i)} a^3 e^{t_i} \quad (i = 1, 2) \\ (p = 1, 2, 3\dots)$$

$$z_p \Delta_{p1}^{(1)} R_{p1} = (z_p f_{p1} - g_{p1}) (\lambda_{p1}^{(1)} - \lambda_{p2}^{(1)}) + (z_p f_{p2} - g_{p2}) (\lambda_{p3}^{(1)} - \lambda_{p4}^{(1)}) + \\ + g_{p2} (\lambda_{p5}^{(1)} - \lambda_{p4}^{(1)}) + g_{p1} (\lambda_{p6}^{(1)} - \lambda_{p1}^{(1)})$$

$$z_p \Delta_{p1}^{(2)} R_{p2} = (z_p f_{p2} - g_{p2}) (\lambda_{p1}^{(2)} + \lambda_{p2}^{(2)}) - (z_p f_{p1} - g_{p1}) (\lambda_{p3}^{(2)} + \lambda_{p4}^{(2)}) - \\ - g_{p1} (\lambda_{p5}^{(2)} + \lambda_{p4}^{(2)}) - g_{p2} (\lambda_{p6}^{(2)} + \lambda_{p1}^{(2)})$$

$$\Delta_{p1}^{(1)} Q_{p1} = (z_p f_{p1} - g_{p1}) \lambda_{p2}^{(1)} - (z_p f_{p2} - g_{p2}) \lambda_{p3}^{(1)} + g_{p1} \lambda_{p1}^{(1)} + g_{p2} \lambda_{p4}^{(1)} \quad (1.13)$$

$$\Delta_{p1}^{(2)} Q_{p2} = (z_p f_{p1} - g_{p1}) \lambda_{p3}^{(2)} - (z_p f_{p2} - g_{p2}) \lambda_{p2}^{(2)} + g_{p1} \lambda_{p4}^{(2)} + g_{p2} \lambda_{p1}^{(2)}$$

$$\lambda_{pi}^{(i)} = z_p \operatorname{sh}^2 t_i, \quad (z_p^2 - 1) \lambda_{p2}^{(i)} = \operatorname{sh} z_p t_i \operatorname{ch} z_p t_i + z_p \operatorname{sh} t_i \operatorname{ch} t_i - \Delta_{pi}^{(i)}$$

$$(z_p^2 - 1) \lambda_{p3}^{(i)} = z_p \operatorname{ch} z_p t_i \operatorname{sh} t_i + \operatorname{sh} z_p t_i \operatorname{ch} t_i, \quad \lambda_{p4}^{(i)} = \operatorname{sh} z_p t_i \operatorname{sh} t_i$$

$$\lambda_{p5}^{(i)} = z_p \operatorname{ch} z_p t_i \operatorname{sh} t_i - \operatorname{sh} z_p t_i \operatorname{ch} t_i, \quad \lambda_{p6}^{(i)} = \operatorname{sh} z_p t_i \operatorname{ch} z_p t_i - z_p \operatorname{sh} t_i \operatorname{ch} t_i - \Delta_{pi}^{(i)}$$

Вводим следующие функции

$$\tau_k(\varphi) = f_{0k} + \sum_{p=1}^{\infty} \tilde{f}_{pk} \cos z_p \varphi, \quad \tau_k(\varphi) = \sum_{p=1}^{\infty} \tilde{g}_{pk} \sin z_p \varphi, \quad (k = 1, 2) \quad (1.14)$$

При этом напряжения, действующие на дугах окружностей $t = 0$, в силу (1.12) будут выражаться через приведенные напряжения (1.14) соотношениями

$$f_k(\varphi) = \tau_k(\varphi) + \int_0^{\varphi_1} \left[\chi(x - \varphi) - \frac{x}{\varphi_1} \right] \tau_k(x) dx, \quad \chi(z) = \begin{cases} 1 & z > 0 \\ 0 & z < 0 \end{cases}$$

$$g_k(\varphi) = \tau_k(\varphi) + \int_0^{\varphi_1} \left[\chi(\varphi - x) - \frac{\varphi}{\varphi_1} \right] \tau_k(x) dx \quad (1.15)$$

Отметим, что перемещения (1.11) выражаются через приведенные напряжения $\sigma_k(\varphi)$ и $\tau_k(\varphi)$ более простыми формулами, удобными для дальнейшего применения, чем если бы они выражались через контактные напряжения $f_k(\varphi)$ и $g_k(\varphi)$. Эти функции вводятся с целью, чтобы регулярные части (вторые слагаемые) в формулах (1.11) для перемещений были бесконечно дифференцируемыми функциями.

Из формул (1.1) и (1.14) следует также, что

$$\int_0^{\varphi_1} \sigma_k(\varphi) d\varphi = \int_0^{\varphi_1} f_k(\varphi) d\varphi \quad (1.16)$$

Удовлетворяя теперь условиям контакта (1.3), для определения комплексного контактного давления

$$p(x) = \sigma^{(1)}(x) + i\tau^{(1)}(x) = \sigma^{(2)}(x) + i\tau^{(2)}(x), \quad (|x| < \varphi_0) \quad (1.17)$$

получим сингулярное интегральное уравнение с регулярной частью

$$P(\xi) = \frac{i}{2\pi} \int_{-c}^c P(\eta) \operatorname{ctg} \frac{\eta - \xi}{2} d\eta = f(\xi), \quad (-c < \xi < c) \quad (1.18)$$

где

$$\begin{aligned} f(\xi) = & \sum_{p=1}^{\infty} z_p [\hat{e}_2(R_{p2} \cos p\xi + iQ_{p2} \sin p\xi) - \hat{e}_1(R_{p1} \cos p\xi + \\ & + iQ_{p1} \sin p\xi)] + \frac{1}{\pi} \int_0^\pi \sigma_1 \left(\frac{\varphi_1 \eta}{\pi} \right) d\eta \\ & \gamma = \left[\frac{1 - \gamma_1^2}{E_1} + \frac{1 - \gamma_2^2}{E_2} \right] / \left[\frac{1 - \gamma_1^2}{E_1} \gamma_1 - \frac{1 - \gamma_2^2}{E_2} \gamma_2 \right] \\ & \hat{e}_k = \frac{1 - \gamma_k^2}{E_k} / \left[\frac{1 - \gamma_1^2}{E_1} \gamma_1 - \frac{1 - \gamma_2^2}{E_2} \gamma_2 \right], \quad c = \frac{\pi \varphi_0}{\gamma_1}, \quad (k = 1, 2) \end{aligned} \quad (1.19)$$

Решение уравнения (1.18), следуя [15], записывается в виде

$$\begin{aligned} p(\xi) = & Af(\xi) + \frac{BX(\xi)}{2\pi} \int_{-c}^c \frac{f(\eta) d\eta}{X(\eta) \sin \frac{\eta - \xi}{2}} + \\ & + 2BDX(\xi) \left(\operatorname{th} c\beta \sin \frac{\xi}{2} + i \cos \frac{\xi}{2} \right) \end{aligned} \quad (1.20)$$

где

$$X(\xi) = \left(\sin \frac{c - \xi}{2} \right)^{-\frac{1}{2} - \beta i} \left(\sin \frac{c + \xi}{2} \right)^{-\frac{1}{2} + \beta i}, \quad \beta = \frac{1}{2\pi} \ln \frac{\gamma - 1}{\gamma + 1} \quad (1.21)$$

Коэффициент D определяется из условия статического равновесия

$$4\pi\gamma \operatorname{ch} 2c\beta D = -(1 - \gamma^2) \operatorname{ch} \pi\beta \operatorname{ch} c\beta \int_{-c}^c p(\xi) d\xi \quad (1.22)$$

Функция $f(\xi)$ в (1.19) содержит неизвестное контактное давление $p(\xi)$, поэтому (1.20) является уравнением Фредгольма для определения $p(\xi)$. Для того, чтобы интегральное уравнение (1.20) свести к решению бесконечных систем алгебраических уравнений, представим функцию $p(y)$ в виде

$$p(y) = \frac{a_0}{2} + \sum_{k=1}^{\infty} (a_k \cos ky + i b_k \sin ky) \quad (1.23)$$

где

$$\pi a_k = \int_{-c}^c \sigma(y) \cos ky dy, \quad \pi b_k = \int_{-c}^c \tau(y) \sin ky dy \quad (1.24)$$

Из интегрального уравнения (1.20) и граничных условий на линии контакта для определения неизвестных a_k и b_k получим следующую систему:

$$\begin{aligned} a_k &= \sum_{p=1}^{\infty} (\alpha_p M_{pk}^{(1)} + b_p N_{pk}^{(1)}) + \gamma_k^{(1)} \\ b_k &= \sum_{p=1}^{\infty} (\alpha_p M_{pk}^{(2)} + b_p N_{pk}^{(2)}) + \gamma_k^{(2)} \end{aligned} \quad (k = 1, 2, 3, \dots) \quad (1.25)$$

где

$$\begin{aligned} M_{pk}^{(1)} &= \int_{-c}^c [iN_p^{(1)} S_p(\xi) + N_p^{(2)} C_p(\xi)] \cos k\xi d\xi \\ M_{pk}^{(2)} &= \int_{-c}^c [N_p^{(1)} S_p(\xi) - iN_p^{(2)} C_p(\xi)] \sin k\xi d\xi \\ N_{pk}^{(1)} &= \int_{-c}^c [iN_p^{(3)} S_p(\xi) + N_p^{(4)} C_p(\xi)] \cos k\xi d\xi \\ N_{pk}^{(2)} &= \int_{-c}^c [N_p^{(3)} S_p(\xi) - iN_p^{(4)} C_p(\xi)] \sin k\xi d\xi \\ \pi \Delta_{p1} N_p^{(1)} &= -[\lambda_{p1}(\hat{\delta}_1 - \hat{\delta}_2) + (\alpha_p^2 - 1)\lambda_{p2}(\hat{\delta}_1 + \hat{\delta}_2)] \\ \pi \alpha_p \Delta_{p1} N_p^{(2)} &= [(\alpha_p^2 - 1)\lambda_{p2} - \lambda_{p6}] (\hat{\delta}_1 + \hat{\delta}_2) - (\alpha_p^2 - 2)\lambda_{p1}(\hat{\delta}_1 - \hat{\delta}_2) \\ \pi \Delta_{p1} N_p^{(3)} &= -\alpha_p \lambda_{p1} (\hat{\delta}_1 - \hat{\delta}_2), \quad \pi \Delta_{p1} N_p^{(4)} = \lambda_{p1} (\hat{\delta}_1 - \hat{\delta}_2) - \lambda_{p6} (\hat{\delta}_1 + \hat{\delta}_2) \\ \gamma_k^{(1)} \operatorname{ch} \pi \beta &= 4BD [\operatorname{th} c\beta [B_k(0) - B_{k-1}(0)] + i[A_k(0) + A_{k-1}(0)] + \\ &+ \frac{2 \operatorname{ch} \pi \beta}{\pi^2} \int_0^\pi \sigma_1 \left(\frac{p_1 \eta}{\pi} \right) d\eta \int_{-c}^c C_0(\xi) \cos k\xi d\xi] \end{aligned} \quad (1.26)$$

$$\pi^2 \gamma^{(2)} = 2\pi BD [i \operatorname{th} c \beta [A_k(0) - A_{k-1}(0)] + [B_k(0) + B_{k-1}(0)]] +$$

$$+ 2 \int_0^{\pi} z_1 \left(\frac{\varphi_1 \eta}{\pi} \right) d\eta \int_{-c}^c C_0(\zeta) \sin k\zeta d\zeta$$

$$\int_{-c}^c \frac{\cos \left| \left(p + \frac{1}{2} \right) x + \delta \right| dx}{X(x)} = \frac{2\pi}{\cos \pi \beta} A_p(\delta)$$

$$\int_{-c}^c \frac{\sin \left| \left(p + \frac{1}{2} \right) x + \delta \right| dx}{X(x)} = \frac{2\pi}{\cos \pi \beta} B_p(\delta)$$

$$C_k(x) = A \cos kx + \frac{BX(x)}{2\pi} \int_{-c}^c \frac{\cos k\tau d\tau}{X(\tau) \sin \frac{\tau-x}{2}}$$

$$S_k(x) = A \sin kx + \frac{BX(x)}{2\pi} \int_{-c}^c \frac{\sin k\tau d\tau}{X(\tau) \sin \frac{\tau-x}{2}}$$

$$C_0(x) = - \frac{BX(x)}{\cos \pi \beta} \sin \left(c_0^2 + \frac{x}{2} \right), \quad A = \frac{1}{1-\gamma^2}, \quad B = \frac{\gamma i}{1-\gamma^2}$$

Таким образом, рассмотренная задача сводится к решению бесконечной системы алгебраических уравнений. В силу введения новых неизвестных (1.12) коэффициенты бесконечных систем (1.25) стремятся к нулю, как $O(k^{-1/2}, re^{-\beta_0 \mu})$. Из выражения (1.26) следует, что $\beta_0 \varphi_i = \text{лпн}(t_1, t_2)$. На основании вышесказанного и результатов работы [6] для коэффициентов бесконечных систем (1.25) имеем

$$\sum_{p=1}^{\infty} |M_{kp}^{(1)}|, \quad \sum_{p=1}^{\infty} |N_{pk}^{(1)}| \rightarrow 0, \quad k \rightarrow \infty$$

то есть система (1.25) квазивполне регулярна.

Как следует из физических соображений, ряд (1.23) сходится условно. Но используя решение (1.20), сходимость этого ряда улучшается и при этом выделяются соответствующие особенности контактных напряжений (1.27).

В качестве численного примера рассмотрим случай, когда внутреннее тело — из меди ($E = 10^9 \text{ кН/см}^2$, $\nu = 0.32$), а наружное — из стали ($E = 2 \cdot 10^9 \text{ кН/см}^2$, $\nu = 0.27$). Принято, что $t_1 = t_2 = \ln 2$,

$$\sigma(t_1, \varphi) = f_{02}^{(1)} = p_{01}, \quad \sigma(t_2, \varphi) = f_{01}^{(2)} = p_{02}, \quad c = 0.5\pi; \quad n = 3$$

При таких значениях параметров комплексное контактное напряжение примет вид

$$p(x) = \frac{D}{\sqrt{\sin \frac{c-x}{2} \sin \frac{c+x}{2}}} [C(x) + iS(x)][K_1(x) + iK_2(x)] \quad (1.27)$$

где

$$C(x) = \cos \left(\beta \ln \frac{\sin \frac{c+x}{2}}{\sin \frac{c-x}{2}} \right), \quad S(x) = \sin \left(\beta \ln \frac{\sin \frac{c+x}{2}}{\sin \frac{c-x}{2}} \right)$$

$$K_1(x) = 0.166385 \cos \frac{x}{2} - 0.077669 \cos \frac{3x}{2} - 0.001102 \cos \frac{5x}{2} + \\ + 0.000022 \cos \frac{7x}{2} + \dots$$

$$K_2(x) = 0.024985 \sin \frac{x}{2} + 0.005874 \sin \frac{3x}{2} - \\ - 0.000339 \sin \frac{5x}{2} + 0.0000009 \sin \frac{7x}{2} + \dots$$

Имеем также

$$\int_{-c}^c p(x) dx = 1.05238 D \quad (1.28)$$

а для D получаем

$$D = -23.481324 p_{01} \omega^2 a^2 - 129.96447 p_{02} \omega^2 a^2 + 11.205104 p_{01} - \\ - 23.146771 p_{02} + 9.362577 \cdot 10^6 \frac{\delta}{a} \quad (1.29)$$

δ — сближения колец

$$\delta = u^{(1)}(0, \varphi) - u^{(2)}(0, \varphi), \quad |\varphi| < c$$

Из (1.28) и (1.29) можно получить те значения ω , зависящие от p_{01} , p_{02} и δ , при которых наступает момент отрыва колец друг от друга. Например, если $p_{01} = p_{02} = 0$, и разность радиусов колец до вращения была $u_1 - u_2 = \delta$, то тенденция к отрыву наступит при

$$\omega = 0.886256 \cdot 10^3 \sqrt{\frac{\delta}{a^3}} \text{ сек}^{-1}$$

§ 2. Рассмотрим теперь задачу для кольца, ослабленного симметрично расположеннымми внешними или внутренними радиальными трещинами, когда на круговых частях и внутри трещин действуют равномерно распределенные нормальные нагрузки (фиг. 2).

Границные условия этой задачи можно получить из (1.2) при

$$g_1^{(2)}(z) = g_2^{(1)}(\varphi) = 0, \quad f_{k1}^{(2)} = f_{k2}^{(1)} = 0$$

а условие для перемещения на линии $\varphi = \varphi_1$ заменяется одним из следующих смешанных условий:

а) внутренняя трещина

$$v(t, z_1) = 0 \quad (0 < t < \alpha, \beta \leq t \leq t_1)$$

$$\sigma_r(t, \varphi_1) = -p \quad (\alpha < t < \beta)$$

б) трещина, расположенная на внутренней поверхности

$$\sigma_r(t, \varphi_1) = -p \quad (0 < t < \beta) \quad (2.1)$$

$$v(t, z_1) = 0 \quad (\beta < t < t_1)$$

в) трещина, расположенная на внешней поверхности

$$v(t, z_1) = 0 \quad (0 < t < \alpha)$$

$$\sigma_r(t, \varphi_1) = -p \quad (\alpha < t < t_1)$$

Удовлетворяя условию (2.1, а), с учетом (1.2) — (1.5), для определения $f_3(t)$ получим следующее интегральное уравнение:

$$\int_{-1}^1 \frac{\psi(z) dz}{u-z} = \bar{f}(u) \quad (-1 \leq u \leq 1) \quad (2.2)$$

где $\frac{1-y^2}{E} f_3(t)$ — нормальное перемещение точек берегов трещин

$$\psi(z) = f_2(y) - \bar{f}_3(y), \quad \beta_1 y = \arccos(az + b)$$

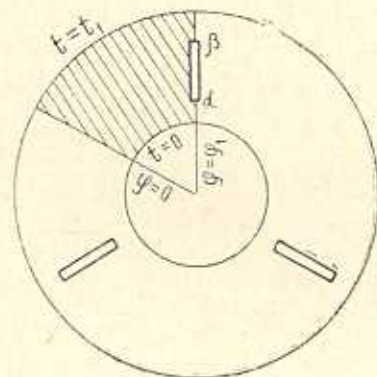
$$\beta_1 t = \arccos(au + b), \quad 2a = \cos \beta_1 \beta - \cos \beta_1 \alpha$$

$$2b = \cos \beta_1 \beta + \cos \beta_1 \alpha, \quad \bar{f}(u) = g(t)$$

$$g(t) = D_0^{(0)}(t) + D_0^{(1)}(t_1) - \int_a^b \psi(y) D_0^{(2)}(t, y) dy$$

$$D_0^{(0)}(t) = 4t_1 \beta_1 (b_1 e^{-t} - b_2 e^t)$$

$$D_0^{(1)}(t_1) = -2t_1 \beta_1 [2b_0 e^{t_1} + b_1 e^{-t_1} + b_2 (1 + 2t_1) e^{t_1} - a(P_2 - a p e^\beta)]$$



Фиг. 2.

$$\begin{aligned}
D_0^{(2)}(t, y) = & 2\varphi_1 \sum_{k=1}^{\infty} \left\{ \frac{\sin \beta_k y}{\beta_k^2 + 1} [(-1)^{k+1} (1 + R_\rho^{(1)}) - R_\rho^{(1)} (\beta_k^2 + 1) \cos \beta_k t] + \right. \\
& \left. + \frac{2t_1}{\varphi_1 \Delta_{k1}} [Q_1(x_k, y) H_k(t) - Q_1(x_k, t_1 - y) H_k(t_1 - t) - \Delta_{k1} Q_1(x_k, y)] \right\} \quad (2.3) \\
R_k^{(1)} \Delta_{k2} = & -e^{-\beta_k \varphi_1} \operatorname{ch} \beta_k \varphi_1 + \beta_k \sin \varphi_1 \cos \varphi_1 + \cos^2 \varphi_1 \\
H_k(t) = & x_k \operatorname{sh} t_1 [x_k^2 \operatorname{sh} x_k (t_1 - t) \operatorname{ch} t - x_k (x_k^2 - 2) \operatorname{ch} x_k (t_1 - t) \operatorname{sh} t] + \\
& + \operatorname{sh} x_k t_1 [x_k (x_k^2 - 2) \operatorname{ch} x_k t \operatorname{sh} (t_1 - t) - x_k^2 \operatorname{sh} x_k t \operatorname{ch} (t_1 - t)] \\
Q_1(x_k, y) = & \frac{1}{4x_k} \left[\frac{\operatorname{sh}(x_k - 1)y}{\operatorname{sh}(x_k - 1)t_1} - \frac{\operatorname{sh}(x_k + 1)y}{\operatorname{sh}(x_k + 1)t_1} \right] \\
\Delta_{k2} = & \operatorname{ch}^2 \beta_k \varphi_1 - \cos^2 \varphi_1 \\
\int_0^z a e^t \sigma_\tau(t, \varphi_1) dt = & P_1, \quad \int_{\beta}^{t_1} a e^t \sigma_\tau(t, \varphi_1) dt = P_2
\end{aligned}$$

Представляя решение (2.2) в виде

$$\psi(z) = \frac{1}{\sqrt{1-z^2}} \left[a_0 + \sum_{k=1}^{\infty} a_k T_k(z) \right] \quad (2.4)$$

для определения a_k получим следующую систему алгебраических уравнений:

$$a_m = \sum_{k=0}^{\infty} A_{mk} a_k + g_m, \quad (m = 1, 2, 3, \dots) \quad (2.5)$$

где

$$\begin{aligned}
A_{mk} = & - \int_{-1}^1 \int_{-1}^1 (1-z^2)^{-1/2} \sqrt{1-u^2} U_m(u) T_k(z) f_1(u, z) du dz \\
g_m = & - \int_{-1}^1 \sqrt{1-u^2} U_m(u) f_0(u) du
\end{aligned} \quad (2.6)$$

$$\pi^2 f_0(u) = -2[D_0^{(0)}(t) + D_0^{(1)}(t_1)], \quad \pi^2 f_1(u, z) = -2D_0^{(2)}(t, y)$$

$U_m(u)$, $T_k(u)$ — полиномы Чебышева.

Аналогичным образом, как это делалось в работах [3, 4], доказывается, что бесконечные системы этой задачи (2.5), а также следующей задачи (2.9) не только квазивполне регулярны, но и суммы модулей коэффициентов при неизвестных при возрастании номера строки стремятся к нулю, как $O(m^{-1/2})$.

При удовлетворении условий (2.1,в), то есть если трещина раскрывается к внешней поверхности, интегральное уравнение примет вид

$$\int_{\alpha}^{\pi} \frac{\psi(y) \sin \beta_1 y}{\cos \beta_1 y - \cos \beta_1 t} dy = g(t), \quad (\alpha < t < \pi) \quad (2.7)$$

решение которого ищется в виде

$$\psi(z) = \frac{a_0 \cos \frac{z}{2}}{\sqrt{\cos \alpha - \cos z}} + \sum_{p=1}^{\infty} a_p \cos \frac{z}{2} \int_{\alpha}^{\pi} \frac{y_p(\cos \theta) \operatorname{tg} \frac{\theta}{2}}{\sqrt{\cos \theta - \cos z}} d\theta \quad (2.8)$$

где

$$\beta_1 y = z, \quad \beta_1 t = u, \quad \beta_1 \beta = \bar{\beta}, \quad \beta_1 g(t) = g(u)$$

Для определения a_m получим бесконечную систему алгебраических уравнений

$$a_m = \sum_{p=1}^{\infty} A_{pm} a_p + g_m, \quad (m = 1, 2, 3, \dots) \quad (2.9)$$

$$a_0 B_0 = \sum_{p=1}^{\infty} B_p a_p + g_0$$

где

$$\pi A_{pm} = m \sum_{k=1}^{\infty} R_k^{(1)} C_{mk}(z) J_{pk}(\cos z) -$$

$$-\frac{4\sqrt{2}m}{\varphi_1} \sum_{k=1}^{\infty} \frac{1}{\Delta_{k1}} \int_{\alpha}^{\pi} y_p(\cos \theta) R_{km}(\cos \theta) \operatorname{tg} \frac{\theta}{2} d\theta$$

$$\pi^2 g_m = -m \sqrt{2} \overline{A}_{m0} + a_0 \pi m \sum_{k=1}^{\infty} \left[R_k^{(1)} C_{mk}(z) y_k(\cos z) - \frac{4\sqrt{2}}{\varphi_1} \frac{R_{km}(\cos z)}{\Delta_{k1}} \right]$$

$$J_{pk}(\cos z) = \int_{\alpha}^{\pi} y_p(\cos \theta) y_k(\cos \theta) \operatorname{tg} \frac{\theta}{2} d\theta$$

$$R_{km}(\cos \theta) = \int_{\theta}^{\pi} \frac{\cos y/2}{\sqrt{\cos \theta - \cos y}} [Q_1(z_k, y) H_{km}(y) -$$

$$- Q_1(z_k, \pi - y) H_{km}(\pi - y)] dy$$

$$C_{mk}(z) = \int_{\alpha}^{\pi} \cos mt \cos kt dt, \quad H_{km}(z) = \int_{\alpha}^{\pi} H_k(t) \cos mt dt$$

$$B_0 = \frac{\pi}{\sqrt{2}} - \sqrt{2} \sum_{k=1}^{\infty} R_k^{(1)} y_k(\cos z) \frac{\sin k\alpha}{k} - \frac{8}{\varphi_1} \sum_{k=1}^{\infty} \frac{R_{k0}(\cos z)}{\Delta_{k1}} \quad (2.10)$$

$$B_p = \frac{\pi}{\sqrt{2}} \left[\frac{Z_p(\cos \ell)}{p} + \sqrt{2} \sum_{k=1}^{\infty} R_k^{(1)} J_{pk}(\cos \alpha) \frac{\sin kx}{k} + \right.$$

$$\left. + \frac{8}{\varphi_1} \sum_{k=1}^{\infty} \frac{1}{\Delta_{k1}} \int_a^{\pi} Y_p(\cos \theta) R_{k0}(\cos \theta) \operatorname{tg} \frac{\theta}{2} d\theta \right]$$

$$g_0 = 8 [b_1(e^{-x} - e^{-r}) - b_2(e^x - e^r)] + \frac{2(\pi - x) D_0^{(1)}(\pi)}{\pi \beta_1} -$$

$$- \frac{4(\pi - x)}{\pi} \sum_{k=1}^{\infty} \int_a^{\pi} \left[\left| \frac{(-1)^{k+1} (1 + R_k^{(1)}) \sin \beta_k y}{\beta_k^2 + 1} - \frac{2\pi}{\varphi_1} Q_1(z_k, y) \right| \psi(y) dy \right]$$

$$\overline{A}_{m0} = 4\pi \int_a^{\pi} [b_1 e^{-t} - b_2 e^t] \cos mt dt - \frac{D_0^{(1)}(\pi) \sin mx}{m \beta_1} +$$

$$+ \frac{2 \sin mx}{m} \sum_{k=1}^{\infty} \int_a^{\pi} \left[\left| \frac{(-1)^{k+1} (1 + R_k^{(1)}) \sin \beta_k y}{\beta_k^2 + 1} - \frac{2\pi}{\varphi_1} Q_1(z_k, y) \right| \psi(y) dy \right]$$

$Y_k(x) = P_{k-1}(x) + P_k(x)$, $P_k(x)$ — полиномы Лежандра.

В случае выполнения условий (2.1.б), то есть если трещина раскрывается к внутренней поверхности, аналогично случаю (2.1.в) решение интегрального уравнения приводится к регулярной бесконечной системе.

Институт механики
АН Армянской ССР
Ереванский зооветеринарный
институт

Поступила 15 II 1979

Ю. З. РУФИЛОВИЧ, И. И. ԵՎԱԳԻՐՅԱՆ

ՃԱՐՔԵՐԻ ՕՊԱԿԱՑԻԿ ՍԵԿՏՈՐԻ ՀԱՄԱՐ ԵԲԿԱՆԻ ԽԵՂԻՔՆԵՐԻ ՄԱՍԻՆ

Ա. մ Փ թ թ ու մ

Դիտարկվում է առաձգականության տեսության երկու խնդիր պատվոր շրջանալին օղակների համար ա) մասնակիորեն իրար հարակցված երկու համակենտրոն շրջանալին օղակների հարթ կոնտակտային խնդիրը, բ) սիմետրիկ ձևով դասավորված ներքին և արտաքին շառավղային ճեղքերով թույցված օղակի խնդիրը:

Հուծումը փնտրվում է ֆուրյեի եռանկյունաչափական շարժերի օգնությամբ բնեուային կոորդինատական սխեմում, և այն բերվում է սխնդույլար ինտեգրալ հավասարման, վերջինս էլ փոխարինվում է համարժեք քվազի լիուդին սեպույար անվերջ սխեմով, թերվում է թվային օրինակ:

ON TWO PROBLEMS FOR RING SECTORS

A. H. BABLOYAN, A. A. ENGBARIAN

Summary

Two problems for a rotating disc a) a contact problem for two circular rings from different materials partially (symmetrically) bounded to each other, b) a problem for one ring weakened by symmetrically placed internal and external radial cracks are considered.

The stress function in the form of trigonometrical Fourier series in polar coordinate system is presented.

The solution is reduced to singular integral equations, later reduced to a quasi-quite regular system of algebraic equations.

A numerical example is given.

LITERATURE

1. Баблоян А. А. Решение плоской задачи теории упругости для кольцевого сектора в напряжениях. Изв. АН Арм. ССР, сер. физ.-мат. н., 1962, т. 15, № 1.
2. Баблоян А. А., Точняк В. С. Плоская задача для ортотропной пластинки в виде кольцевого сектора. Изв. АН Арм. ССР, сер. физ.-мат. н., 1964, т. 17, № 5.
3. Баблоян А. А., Саакян В. Г. Решение смешанной задачи теории упругости для кругового кольца. Изв. АН Арм. ССР, Механика, 1967, т. 20, № 5.
4. Баблоян А. А., Саакян В. Г. Об одной плоской контактной задаче теории упругости для кругового кольца. Изв. АН Арм. ССР, Механика, 1970, т. 23, № 1.
5. Баблоян А. А., Гулкян Н. О. Плоская задача для кругового кольца с радиальными трещинами. Изв. АН Арм. ССР, Механика, 1969, т. 22, № 3.
6. Баблоян А. А., Енгбарян А. А. Контактная задача для прямоугольника при наличии сцепления. Изв. АН Арм. ССР, Механика, 1977, т. 30, № 3.
7. Тимошенко С. П., Гудьеर Дж. Теория упругости. М., Изд. «Наука», 1975.
8. Яу Вен-Фу. Смешанная задача для упругого кольца. ПМ, 1968, т. 35, № 4.
9. Rooke D. P., Tweed J. The stress intensity factors of a radial crack in a point loaded disc. Intern. Journal. Eng. Sci., 1973, vol. II, No. 2.
10. Сапонджян О. М., Энгбарян Р. А. Круговой диск с радиальным разрезом под действием сосредоточенных сил. Изв. АН Арм. ССР, Механика, 1976, т. 29, № 5.
11. Вердяян С. С., Энгбарян Р. А. Равномерно растянутая круглая пластинка с радиальными трещинами. Изв. АН Арм. ССР, Механика, 1972, т. 25, № 2.
12. Tweed J., Rooke D. P. The stress intensity factor of an edge crack in a finite elastic disc. Intern. Journal Eng. Sci., 1973, vol. II, No. 1.
13. Gregory R. D. A circular disc containing a radial edge crack opened by a constant internal pressure. Math. Proceedings, 1977, vol. 81, No. 3.
14. Tweed J., Rooke D. P. The distribution of stress near the top of a radial crack of the edge of a circular hole. Int. J. Eng., Sci., 1973, II, No. 11.
15. Чубрикова Л. И. О решении некоторых полных сингулярных интегральных уравнений. Уч. записки Казанского ин-та, 1962, т. 122, кн. 3.